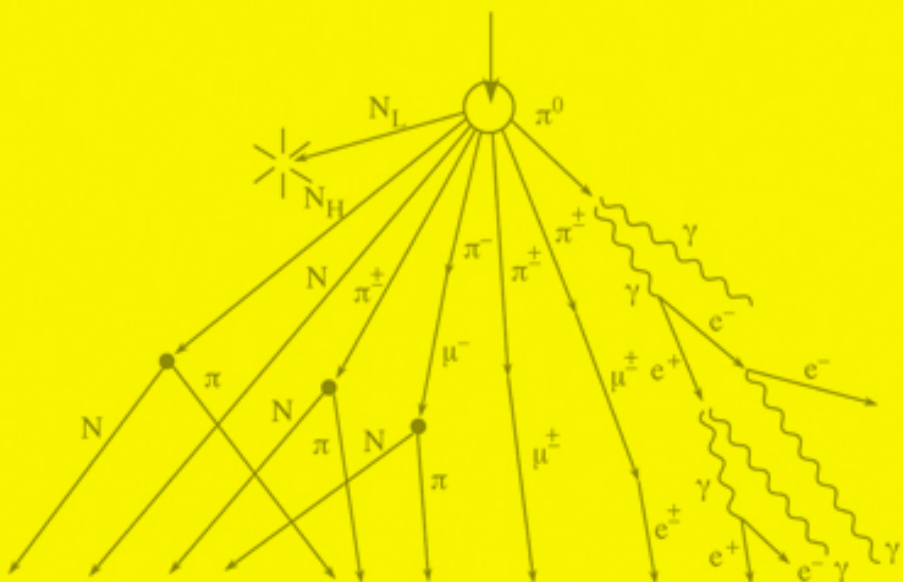


Φυσική Ακτινοβολιών και Εφαρμογές Ραδιοϊσοτόπων

Δ' Έκδοση Βελτιωμένη



ISBN 978-960-456-417-0

© Copyright: Κ. Παπαστεφάνου, Εκδόσεις Ζήτη, Απρίλιος 2001, Θεσσαλονίκη
Δ' Έκδοση βελτιωμένη, Νοέμβριος 2013

Το παρόν έργο πνευματικής ιδιοκτησίας προστατεύεται κατά τις διατάξεις του ελληνικού νόμου (Ν.2121/1993 όπως έχει τροποποιηθεί και ισχνεί σήμερα) και τις διεθνείς συμβάσεις περί πνευματικής ιδιοκτησίας. Απαγορεύεται απολύτως η άνευ γραπτής άδειας του εκδότη κατά οποιοδήποτε τρόπο ή μέσο αντιγραφή, φωτοανατύπωση και εν γένει αναπαραγωγή, εκμίσθωση ή δανεισμός, μετάφραση, διασκευή, αναμετάδοση στο κοινό σε οποιαδήποτε μορφή (ηλεκτρονική, μηχανική ή άλλη) και η εν γένει εκμετάλλευση του συνόλου ή μέρους του έργου.

Φωτοστοιχειοθεσία Π. ΖΗΤΗ & Σια ΟΕ

Εκτύπωση 180 χλμ Θεσ/νίκης-Περαίας

Βιβλιοδεσία Τ.Θ. 4171 • Περαία Θεσσαλονίκης • Τ.Κ. 570 19

Τηλ.: 2392.072.222 - Fax: 2392.072.229 • e-mail: info@ziti.gr



www.ziti.gr

ΒΙΒΛΙΟΠΩΛΕΙΟ ΘΕΣΣΑΛΟΝΙΚΗΣ - ΚΕΝΤΡΙΚΗ ΔΙΑΘΕΣΗ:

Αρμενοπούλου 27, 546 35 Θεσσαλονίκη

Τηλ.: 2310.203.720, Fax: 2310.211.305 • e-mail: sales@ziti.gr

ΒΙΒΛΙΟΠΩΛΕΙΟ ΑΘΗΝΩΝ - ΠΩΛΗΣΗ ΛΙΑΝΙΚΗ-ΧΟΝΔΡΙΚΗ

Χαρτλάδου Τρικούπη 22, 106 79 Αθήνα

Τηλ.-Fax: 210.3816.650 • e-mail: athina@ziti.gr

ΣΤΟΑ ΤΟΥ ΒΙΒΛΙΟΥ - ΕΝΩΣΗ ΕΚΔΟΤΩΝ ΒΙΒΛΙΟΥ ΘΕΣΣΑΛΟΝΙΚΗΣ:

Πεσμαζόγλου 5, 105 64 Αθήνα • Τηλ.-Fax: 210.3211.097

ΗΛΕΚΤΡΟΝΙΚΟ ΒΙΒΛΙΟΠΩΛΕΙΟ: www.ziti.gr

Σχήμα εξωφύλλου

Παραγωγή της δευτερογενούς συνιστώσας της κοσμικής ακτινοβολίας. Ο ανοιχτός κύκλος παριστάνει ένα πυρήνα στον αέρα (ατμόσφαιρα). Οι μικροί πλήρεις κύκλοι παριστάνουν πυρήνες που παίρνουν μέρος σε δευτερογενείς αντιδράσεις. Με N_L και N_H σημειώνονται τα νουκλεόνια χαμηλής και υψηλής ενέργειας, αντίστοιχα. Τα πιόνια και τα μιόνια παριστάνονται με τα σύμβολά τους π και μ, τα ποζιτρόνια και τα ηλεκτρόνια με e^+ και e^- και τέλος τα φωτόνια με γ.

Εὐφρόάνθητι, ἔρημος διψῶσα, ἀγαλλιάσθω ἔρημος καί ἀνθήτω ὡς κρίνον,
καὶ ἔξανθήσει καὶ ὑλοχαρήσει καὶ ἀγαλλιάσεται ... διτὶ ἐρεάγη ἐν τῇ ἐρήμῳ
ὑδωρ καὶ φάραγξ ἐν γῇ διψώσῃ καὶ ἔσται ἥ ἄνυδρος εἰς ἔλη καὶ εἰς τήν
διψῶσαν γῆν πηγήν ὑδατος ἔσται.

Ἡσαῖας λε' 1, 2, 6, 7

Πρόλογος

Η ύλη αυτού του βιβλίου είναι το αποτέλεσμα της πολυετούς (από το 1980) εμπειρίας που αποκτήθηκε στη διδασκαλία του μαθήματος «Φυσική Ακτινοβολιών και Εφαρμογές Ραδιοϊστοτόπων». Στην αρχή ξεκίνησε με τη μορφή φοιτητικών σημειώσεων (1980 και 1986), γιατί αφορούσε και εξακολουθεί να αφορά τους φοιτητές του Τμήματος Φυσικής, αλλά και άλλων τμημάτων του Πανεπιστημίου, π.χ. του Τμήματος Γεωλογίας, του Τμήματος Ηλεκτρολόγων Μηχανικών, της Ιατρικής Σχολής, της Γεωπονικής Σχολής ως και του Τμήματος Αρχαιολογίας. Θα έλεγα ότι ενδιαφέρει όλους τους επιστήμονες, ανεξάρτητα από την ειδικότητά τους, που χρησιμοποιούν στη δουλειά τους ακτινοβολίες (occupational), αλλά και αυτούς που εκτίθενται στις ακτινοβολίες ευρισκόμενοι σε χώρους επισημασμένους με την ένδειξη: «Προσοχή. Έκθεση στην Ακτινοβολία», χωρίς επαγγελματικά να έχουν καμία σχέση με ακτινοβολίες (non-occupational).

Ίσως δεν υπάρχει σήμερα έστω μία Επιστήμη που να μη χρησιμοποιεί τις ακτινοβολίες σε κάποιο τομέα. Γύρω μας, στο σπίτι, στο γραφείο, στον χώρο εργασίας, ακόμα και στο ύπαιθρο ή στο αεροπλάνο όταν πετάμε (πολύ περισσότερο με το Atlantis, όλο και σε κάποια ακτινοβολία θα βρεθούμε ανύποπτα εκτεθειμένοι. Και μόνον όταν τη χρειαστούμε για τη διάγνωση ή τη θεραπεία κάποιας σοβαρής αρρώστειας στο νοσοκομείο θα κάνουμε λόγο γι' αυτήν.

Καιρός λοιπόν είναι να μάθουμε κάτι παραπάνω για τις ακτινοβολίες και να μη ζήσουμε ποτέ στιγμές πανικού, όπως τότε με το ατύχημα του Τσερνομπύλ (Μάης '86).

Μία μόνο λέξη, τέλος, ή έκφραση εκτίμησης, από τη θέση αυτή, δεν μπορεί να αντανακλά επαρκώς την ευγνωμοσύνη μου στη σύνηγρ μου Χάιδω για την ηθική της συμπαράσταση και την κατανόηση για τριάντα χρόνια γεμάτα μόχθο και στα παιδιά μου Πέρη και Φώτη που κατάφεραν να είναι πάντοτε ευχάριστα, να είναι η διασκέδασή μου.

Η έκδοση αυτή είναι η τρίτη κατά σειρά με κάποιες αλλαγές ως προς τις δύο προηγούμενες εκδόσεις, Α (1989) και Β (1992), αντίστοιχα.

K. Παπαστεφάνου
20.3.2001

Περιεχόμενα

ΚΕΦΑΛΑΙΟ I

Εισαγωγικές έννοιες ατομικής και πυρηνικής φυσικής

| | | |
|------|--|----|
| 1.1. | Άτομο και Ατομικά πρότυπα | 13 |
| 1.2. | Συστατικά του ατόμου | 17 |
| | α. Το ηλεκτρόνιο | 18 |
| | β. Ο πυρήνας | 19 |
| 1.3. | Πυρηνική δομή | 21 |
| | α. Διάσταση του πυρήνα | 21 |
| | β. Ισότοπα στοιχεία | 22 |
| | γ. Έλλειμμα μάζας και ενέργεια σύνδεσης του πυρήνα | 23 |
| | δ. Πυρηνικές δυνάμεις | 26 |
| | ε. Πυρηνικά πρότυπα | 28 |

ΚΕΦΑΛΑΙΟ II

Ραδιενέργεια

| | | |
|-------|---|----|
| 2.1. | Εισαγωγή | 29 |
| 2.2. | Ραδιενέργος διάσπαση | 29 |
| 2.3. | Μονάδες ραδιενέργειας | 33 |
| 2.4. | Ραδιενέργος ισοδροπία | 34 |
| 2.5. | Φυσική Ραδιενέργεια | 37 |
| 2.6. | Πυρηνική Σχάση | 41 |
| 2.7. | Πυρηνική Σύντηξη | 45 |
| 2.8. | Ραδιενέργεια Υποστρώματος | 49 |
| 2.9. | «Εξωτική» ραδιενέργεια | 51 |
| 2.10. | «Αόρατη» Ραδιενέργεια | 53 |
| 2.11. | Επαγόμενη ραδιενέργεια από τους επιταχυντές σωματιδίων υψηλών ενεργειών | 53 |

ΚΕΦΑΛΑΙΟ III

Πυρηνικές ακτινοβολίες

| | | |
|------|---------------------------------------|----|
| 3.1. | Φύση των Πυρηνικών Ακτινοβολιών | 61 |
| 3.2. | Ακτινοβολία άλφα | 62 |
| 3.3. | Άλφα διάσπαση | 68 |

| | |
|---|----|
| 3.4. Ακτινοβολία βήτα | 71 |
| 3.5. Βήτα διάσπαση | 75 |
| 3.6. Ηλεκτρόνια Auger | 79 |
| 3.7. Ακτινοβολία γάμμα | 80 |
| 3.8. Γάμμα διάσπαση | 82 |
| 3.9. Άλληλεπίδραση της ακτινοβολίας γάμμα με την ύλη | 86 |
| α. Φωτοηλεκτρικό φαινόμενο | 87 |
| β. Φαινόμενο Compton | 88 |
| γ. Δίδυμη γένεση | 89 |
| 3.10. Απορρόφηση των ακτίνων γάμμα | 91 |
| 3.11. Εξαύλωση | 92 |
| 3.12. Ηλεκτρόνια εσωτερικών μετατροπών (Internal conversion electrons) | 93 |
| 3.13. Δίδυμη γένεση από εσωτερική μετατροπή | 95 |
| 3.14. Ακτινοβολία νετρονίων | 96 |

ΚΕΦΑΛΑΙΟ IV

Μη πυρηνικές ακτινοβολίες

| | |
|---|-----|
| 4.1. Εισαγωγή | 103 |
| 4.2. Ακτίνες δέλτα | 103 |
| Καθοδικές ακτίνες | 104 |
| Διαυλικές ακτίνες | 104 |
| 4.3. Ακτινοβολία πέδησης (Bremsstrahlung) | 105 |
| 4.4. Ακτινοβολία Čerenkov | 106 |
| 4.5α. Ακτίνες X | 108 |
| 4.5β. Ακτίνες T | 111 |
| 4.6. Ακτινοβολία μικροχυμάτων - ραδιοσυχνοτήτων | 111 |
| 4.7. Ακτίνες Laser | 113 |
| 4.8. Υπεριώδης ακτινοβολία (Ultraviolet radiation, UVR) | 115 |
| 4.9. Ακτινοβολία υπερήχων (Ultrasound) | 116 |
| 4.10. Κοσμική ακτινοβολία | 117 |
| 4.11 Ακτινοβολίες από στοιχειώδη σωμάτια | 120 |

ΚΕΦΑΛΑΙΟ V

Ανιχνευτές πυρηνικών ακτινοβολιών

| | |
|--|-----|
| 5.1. Εισαγωγή | 123 |
| 5.2. Ανιχνευτής Geiger - Müller | 124 |
| 5.3. Απαριθμητής Σπινθηρισμών (Scintillation detector) | 127 |

| | |
|---|-----|
| 5.4. Απαριθμητές Ge, Ge-Li και Si-Li | 131 |
| 5.5. Πλαστικοί ανιχνευτές ιχνών (Nuclear track detectors) | 136 |
| 5.6. Απαριθμητές θερμοφωταύγειας | 137 |
| 5.7. Απαριθμητής νετρονίων BF ₃ | 137 |
| 5.8. Φορητά όργανα ανίχνευσης πυρηνικών ακτινοβολιών (Survey meters) | 139 |
| 5.9. Δοσίμετρα | 140 |

ΚΕΦΑΛΑΙΟ VI

Προσδιορισμός Ραδιενέργων Συγκεντρώσεων και Ενεργοτήτων

| | |
|--|-----|
| 6.1. Ενεργοποίηση με νετρόνια (Instrumental neutron activation analysis, INAA) | 143 |
| 6.2. Προσδιορισμός του Ουρανίου με τη μέθοδο των «καθυστερημένων» νετρονίων (Delayed neutron activation analysis, DNAA) | 146 |
| 6.3. Προσδιορισμός του Ουρανίου σε ορυκτά με τη μέθοδο εγγραφής ιχνών σχάσης (Nuclear fission track method) | 147 |
| 6.4. Μέθοδος ανάλυσης φθορισμού με ακτίνες-X (X-ray fluorescence) .. | 148 |

ΚΕΦΑΛΑΙΟ VII

Ραδιοχρονολογήσεις

| | |
|---|-----|
| 7.1. Εισαγωγή | 151 |
| 7.2. Ηλικία της Ύλης | 153 |
| 7.3. Γενική αρχή των οραδιοχρονολογήσεων | 154 |
| 7.4. Ταξινόμηση των μεθόδων των οραδιοχρονολογήσεων | 156 |
| 7.5. Μέθοδος Ηλίου | 157 |
| 7.6. Μέθοδος Μολύβδου | 158 |
| 7.7. Μέθοδος Ουρανίου - Θορίου (²³⁴ U - ²³⁰ Th method of dating) | 160 |
| 7.8. Μέθοδος Ραδίου - Θορίου (²²⁸ Ra - ²²⁸ Th method of dating) | 162 |
| 7.9. Μέθοδος Καλίου - Αργού | 163 |
| 7.10. Μέθοδος Ρουβιδίου - Στροντίου | 165 |
| 7.11. Μέθοδος Ρενίου - Οσμίου | 165 |
| 7.12. Μέθοδος Λουτετίου - Χαφνίου | 166 |
| 7.13. Μέθοδος Τριτίου - Άνθρακα (TRICARB) | 167 |
| α. Μέθοδος άνθρακα-14 | 167 |
| β. Μέθοδος τριτίου | 171 |
| 7.14. Μέθοδος εγγραφής ιχνών σχάσης (FT dating) | 173 |
| 7.15. Μέθοδος θερμοφωταύγειας (Thermoluminescence, TL dating) Εισαγωγή στο φαινόμενο της θερμοφωταύγειας | 174 |
| α. Φωτοκαμπύλη | 176 |

| | |
|---|-----|
| β. Μέτρηση της θερμοφωταύγειας | 178 |
| γ. Η θερμοφωταύγεια σαν συνάρτηση της δόσης | 179 |
| δ. Δοσιμετρία με θερμοφωταύγεια | 180 |
| ε. Χρονολόγηση με θερμοφωταύγεια | 181 |
| 7.16. Μέθοδος συντονισμού του σπιν του ηλεκτρονίου (ESR dating) | 184 |
| 7.17. Μέθοδος των αμινοξέων (Amino acid racemisation dating) | 186 |

ΚΕΦΑΛΑΙΟ VII

Εφαρμογές των ραδιοϊσοτόπων στη Γεωλογία

| | |
|--|-----|
| 8.1 Έρευνα για την ανεύρευση μεταλλευμάτων και ορυκτών | 189 |
| 8.2. Ραδιοϊχνηθέτες στην Υδρολογία | 191 |
| 8.3. Προσδιορισμός Παλαιοθερμοκρασιών με ^{18}O | 193 |
| 8.4. Το ραδόνιο στην πρόβλεψη των σεισμών | 194 |

ΚΕΦΑΛΑΙΟ IX

Εφαρμογές των ακτινοβολίων στην Ιατρική

| | |
|--|-----|
| 9.1. Εισαγωγή | 199 |
| 9.2. Τα ραδιοϊσότοπα στην Ακτινοδιαγνωστική | 199 |
| 9.3. Γεννήτριες νουκλιδίων | 201 |
| 9.4. Σπινθηρογραφία (Nuclear imaging) | 204 |
| 9.5. Ισότοπα και ακτινοβολίες στην Ακτινοθεραπεία | 207 |
| α. Εσωτερικές πηγές θεραπείες | 207 |
| β. Εξωτερική ακτινοβόληση με πηγές - ραδιοτηλεθεραπεία | 208 |
| 9.6. Διάφορες χρήσεις ραδιοϊσοτόπων στην Ιατρική | 211 |

ΚΕΦΑΛΑΙΟ X

Φυσικές εφαρμογές των ιονιζούσών ακτινοβολιών

| | |
|---|-----|
| 10.1. Εισαγωγή | 215 |
| 10.2. Διασπορά στατικού ηλεκτροισμού. Αλεξικέραυνο ιονισμού | 215 |
| 10.3. Μέτρηση κενού | 219 |
| 10.4. Σωλήνες εκφόρτισης | 220 |
| 10.5. Ανιχνευτές καπνού | 220 |
| 10.6. Μέτρηση της ταχύτητας του αέρα | 221 |
| 10.7. Οζονιστήρες | 221 |
| 10.8. Ηλεκτρικές γεννήτριες | 222 |
| 10.9. Γεννήτριες παραγωγής φωτός | 222 |
| 10.10. Μέτρηση υψηλών ηλεκτρικών αντιστάσεων | 223 |

ΚΕΦΑΛΑΙΟ ΧΙ

Εφαρμογές των ραδιοϊστόπων στην Τεχνολογία

| | | |
|-------|--|-----|
| 11.1. | Εισαγωγή | 225 |
| 11.2. | Συνεχής μέτρηση πάχους μεταλλικών φύλλων | 225 |
| 11.3. | Προβλήματα στερεάς διάχυσης των μετάλλων | 227 |
| 11.4. | Ακτινογραφίες μεταλλικών εξαρτημάτων. Ραδιογραφία και αυτοραδιογραφία | 227 |
| 11.5. | Διάφορες εφαρμογές των ραδιοϊστόπων | 228 |

ΚΕΦΑΛΑΙΟ XII

Πυρηνική Ενέργεια

| | | |
|-------|--|-----|
| 12.1. | Σταθμοί της Πυρηνικής Ενέργειας | 231 |
| 12.2. | Πυρηνικοί αντιδραστήρες σχάσης (Fission reactors) | 233 |
| α. | Αντιδραστήρες ελαφρού ύδατος (Light-Water Reactors, LWR) .. | 233 |
| β. | Θερμικοί αντιδραστήρες ψυχόμενοι δί' αερίου (Gas Cooled Thermal Reactors, GCR) | 235 |
| γ. | Αντιδραστήρες βαρέος ύδατος (Heavy Water Reactors, HWR) .. | 236 |
| δ. | Αναπαραγωγικοί αντιδραστήρες (Breeder reactors) | 237 |
| 12.3. | Αντιδραστήρες πυρηνικής σύντηξης (Fusion reactors) | 240 |
| 12.4. | Ραδιενεργά κατάλοιπα (Radioactive wastes) | 242 |
| 12.5. | Πυρηνικά ατυχήματα (Nuclear accidents) | 243 |
| 12.6. | Πυρηνικά όπλα (Nuclear weapons) | 244 |

ΚΕΦΑΛΑΙΟ XIII

Αρχές προστασίας από τις ακτινοβολίες (Ραδιοπροστασία)

| | | |
|-------|---|-----|
| 13.1. | Διέλευση βαρέων φορτισμένων σωματιδίων, ακτίνων γάμμα και ακτίνων-X δια μέσου της ύλης | 249 |
| 13.2. | Δόση από ακτινοβολία | 251 |
| α. | Δόση έκθεσης | 251 |
| β. | Δόση απορρόφησης | 252 |
| γ. | Ισοδύναμη δόση | 252 |
| δ. | Ενεργός ισοδύναμη δόση | 254 |
| ε. | Δόση πληθυσμού | 254 |
| στ. | Kerma | 254 |
| ζ. | LET | 254 |
| η. | Μέγιστη επιτρεπτή δόση | 255 |
| 13.3. | Δόση από έκθεση σε φυσικές και μη πηγές ακτινοβολίας | 256 |
| 13.4. | Βιολογικά φαινόμενα και επιπτώσεις από την έκθεση στην ακτινοβολία. Σύνδρομο οξείας ακτινοβόλησης | 258 |

ΚΕΦΑΛΑΙΟ ΧΙV

Μέθοδοι παραγωγής ραδιοϊσοτόπων

| | | |
|-------|---|-----|
| 14.1. | Μέθοδοι παραγωγής ραδιοϊσοτόπων | 261 |
| a. | Με n, γ αντίδραση στους πυρηνικούς αντιδραστήρες | 261 |
| β. | Ως παράγωγα της σχάσης του ^{235}U με θερμικά νετρόνια στους πυρηνικούς αντιδραστήρες | 262 |
| γ. | Βαρέα υπερουράνια ισότοπα με πολλαπλή αρπαγή νετρονίων (multiple n-capture) και στη συνέχεια με ραδιενεργό διάσπαση των ενδιαμέσων βραχύβιων ισοτόπων | 262 |
| δ. | Με βομβαρδισμό σταθερών ισοτόπων με πρωτόνια, νετρόνια, δευτερόνια, σωμάτια άλφα ή και ελαφρούς πυρήνες, π.χ. ^3He σε επιταχυντές | 262 |
| ε. | Βραχύβια ισότοπα με γεννήτριες νουκλιδίων | 263 |
| 14.2. | Μέθοδοι παρασκευής ραδιενεργών πηγών | 263 |

ΠΑΡΑΡΤΗΜΑ ΠΙΝΑΚΕΣ

| | | |
|------------------------------------|--|-----|
| Θεμελιώδεις Φυσικές Σταθερές | 271 | |
| Πίνακας I. | Ενέργειες σωματίων άλφα χρησιμοποιούμενες ως αναφορά στην φασματοσκοπία ακτίνων-α | 272 |
| Πίνακας II. | Ενέργειες ηλεκτρονίων χρησιμοποιούμενες ως αναφορά στη φασματοσκοπία ακτίνων-β | 274 |
| Πίνακας III. | Ενέργειες φωτονίων γάμμα χρησιμοποιούμενες ως αναφορά στη φασματοσκοπία των ακτίνων-γ | 276 |
| Πίνακας IV. | Μαζικός συντελεστής εξασθένησης (μ/ϱ) διαφόρων υλικών | 280 |
| Πίνακας V. | Μαζικός συντελεστής απορρόφησης (μ_a/ϱ) διαφόρων υλικών | 282 |
| Πίνακας VI. | Ενεργοί διατομές διαφόρων νουκλιδίων | 284 |
| Πίνακας VII. | Αντιστοιχία μονάδων σε τοία συστήματα μονάδων | 285 |
| Πίνακας VIII. | Ενέργειες σύνδεσης των ηλεκτρονίων | 286 |
| Πίνακας IX. | Ενέργειες ακτίνων-X και σχετικές εντάσεις | 289 |
| ΒΙΒΛΙΟΓΡΑΦΙΑ | 293 | |
| ΕΥΡΕΤΗΡΙΟ ΕΝΝΟΙΩΝ | 297 | |

ΚΕΦΑΛΑΙΟ Ι

Εισαγωγικές έννοιες Ατομικής και Πυρηνικής Φυσικής

1.1 Άτομο και Ατομικά πρότυπα

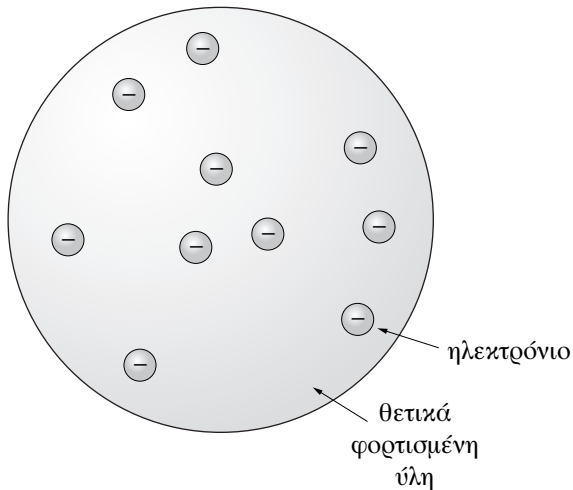
Η ύλη αποτελείται από άτομα*. Από τον 19ο αιώνα επικρατεί η αντίληψη ότι τα χημικά στοιχεία αποτελούνται από άτομα. Συνεπώς το άτομο θεωρείται ότι είναι η στοιχειώδης μονάδα της ύλης, αλλά τίποτε περισσότερο δεν ήταν γνωστό για τα άτομα αυτά καθεαυτά. Οι πρώτες απόψεις πάνω στη δομή και την συγκρότηση του ατόμου γίνονται μετά την ανακάλυψη του ηλεκτρονίου, της στοιχειώδους μονάδας του ηλεκτρισμού, με τα πειράματα των J.J. Thomson (1895) και R. Millikan (1910). Τα ηλεκτρόνια περιέχουν αρνητικό ηλεκτρικό φορτίο, ενώ τα άτομα εμφανίζονται ηλεκτρικώς ουδέτερα. Συνεπώς τα άτομα θα πρέπει να περιέχουν διάχυτο θετικό φορτίο ισοδύναμο προς εκείνο των ηλεκτρονίων.

Το πρώτο ατομικό πρότυπο προτάθηκε το 1898 από τον J.J. Thomson, σαν μια συμπαγής σφαίρα διαμέτρου $\sim 10^{-8}$ cm, θετικά φορτισμένης ύλης, στην οποία το αρνητικό φορτίο –τα ηλεκτρόνια είναι κατεσπαρμένα, Σχ. 1.1. Τα ηλεκτρόνια είναι ομοιόμορφα κατανεμημένα λόγω των αμοιβαίων απώσεων. Το πρότυπο αυτό δεν επέζησε πάνω από 13 χρόνια, καθ' όσον δεν μπορούσε να εξηγήσει αρκετά φαινόμενα, όπως π.χ. το διαπερατό λεπτών μεταλλικών φύλλων από τις καθοδικές ακτίνες, ενώ εξηγούσε την εκπομπή ηλεκτρομαγνητικής ακτινοβολίας από διεγεμένα άτομα.

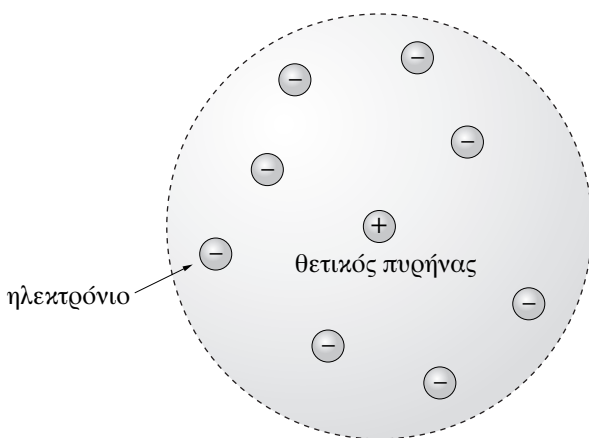
Το 1911, ο Ernest Rutherford βασιζόμενος σε πειράματα σκέδασης των ακτίνων άλφα από λεπτά μεταλλικά φύλλα (π.χ. φύλλα Au), που έκαναν οι συνεργάτες του H. Geiger και E. Marsden, πρότεινε ένα δεύτερο πρότυπο για το άτομο, που ταυτόχρονα εύρισκε ακατάλληλο ή καταργούσε πλέον το πρότυπο ατόμου του Thomson. Κατά τον Rutherford, θα πρέπει στο κέντρο του ατόμου να υπάρχει μια περιοχή συμπυκνωμένης ύλης που θα περιλαμβάνει όλη την μάζα και το θετικό φορτίο του ατόμου. Αυτή η περιοχή, ο πυρήνας δηλαδή, στο κέντρο του ατόμου, βρέθηκε από τα πειράματά τους να έχει διαστάσεις $\sim 10^{-12}$ cm, ενώ

* Την έννοια του ατόμου θεμελίωσε ο Δημόκριτος (470-360 π.Χ.).

τα ηλεκτρόνια βρίσκονται πολύ μακριά από τον πυρήνα, όπως ακριβώς οι πλανήτες γύρω από τον Ήλιο, Σχ. 1.2.



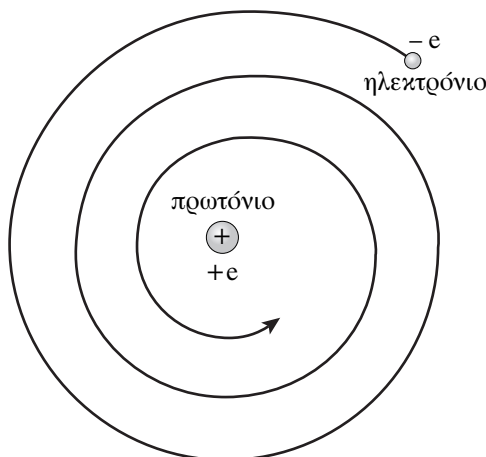
Σχήμα 1.1. Το ατομικό πρότυπο Thomson.



Σχήμα 1.2. Το ατομικό πρότυπο Rutherford.

Το ατομικό πρότυπο Rutherford δεν φάνηκε αρκετό να σταθεί για πολύ, καθ' όσον δεν καθόριζε τι γίνεται με τα ηλεκτρόνια γύρω από τον πυρήνα. Έτσι, αν τα ηλεκτρόνια παραμένουν ακίνητα, τότε λόγω των ηλεκτροστατικών έλξεων (δυνάμεις Coulomb) που θα ασκεί σ' αυτά ο πυρήνας με το θετικό φορτίο, θα πέσουν πάνω του. Αν όμως περιφέρονται γύρω από τον πυρήνα, σύμφωνα με την ηλεκτροδυναμική τα ηλεκτρόνια θα εκπέμπουν ηλεκτρομαγνητική

ακτινοβολία με συνέπεια να χάνουν ενέργεια και να πέσουν τελικά πάνω στον πυρήνα διαγράφοντας σπειροειδή τροχιά, όπως δείχνει το Σχ. 1.3.



Σχήμα 1.3. Σπειροειδής τροχιά του ηλεκτρονίου με κατεύθυνση των πυρήνα.

Το 1913 ο Niels Bohr με νέες υποθέσεις, ξεπέρασε την δυσκολία που προαναφέρθηκε για το πρότυπο Rutherford. Διετύπωσε τις περιβόητες **συνθήκες Bohr**, δεχόμενος τις βασικές απόψεις - θεωρίες του ατομικού προτύπου Rutherford. Συνεπώς τα ηλεκτρόνια κινούνται σε κυκλικές τροχιές γύρω από τον πυρήνα με την επίδραση των δυνάμεων Coulomb:

$$F = \frac{m \cdot v^2}{r} = \frac{Ze^2}{r^2} \quad (1.1.1)$$

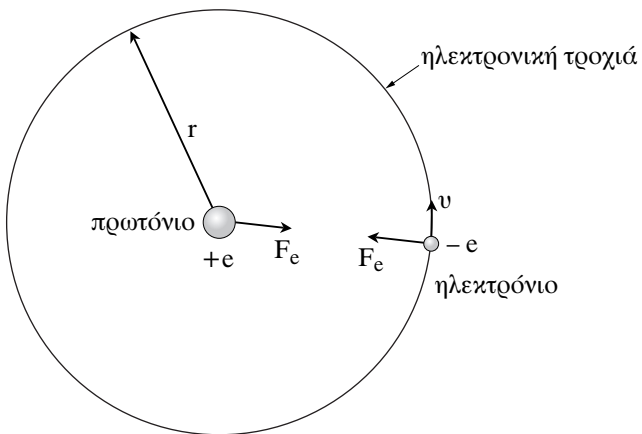
όπου m η μάζα του ηλεκτρονίου, v η ταχύτητά του, r η ακτίνα της κυκλικής τροχιάς του, e το φορτίο του και Z ο αριθμός των θετικών φορτίων του πυρήνα, Σχ. 1.4.

Οι συνθήκες του Bohr είναι οι ακόλουθες:

1. Η πρώτη συνθήκη, που καλείται και **μηχανική συνθήκη**, καθορίζει την κίνηση των ηλεκτρονίων που επιτρέπεται μόνο σε τροχιές ακτίνας r , έτσι ώστε η στροφορομή τους L , να είναι ακέραιο πολλαπλάσιο της ποσότητας $\hbar = h/2\pi$, όπου h η σταθερά του Planck (6.6×10^{-34} erg·sec), δηλαδή

$$L = mv \cdot r = n \cdot \hbar \quad (1.1.2)$$

όπου n ακέραιος αριθμός, ο κβαντικός αριθμός του Bohr ή κύριος κβαντικός αριθμός, που μπορεί να πάρει τις τιμές 1, 2, 3, ..., n .

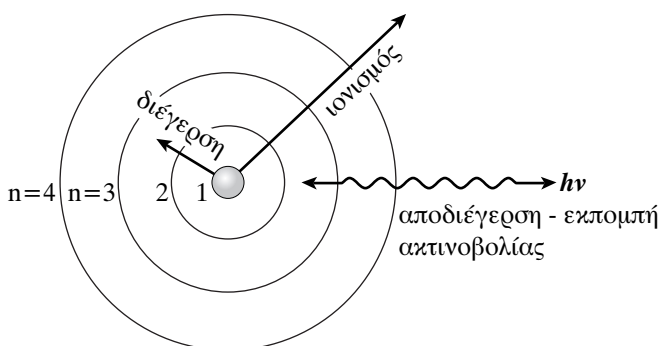


Σχήμα 1.4. Δυνάμεις που δρουν στο άτομο των νδρογόνων.

2. Η δεύτερη συνθήκη, που καλείται και **οπτική συνθήκη**, καθορίζει ότι, όταν το ηλεκτρόνιο μεταπηδήσει από μια εξωτερική, επιτρεπτή, τροχιά α (αρχική του τροχιά) σε μια εσωτερική, επιτρεπτή, τροχιά τ , (τελική του τροχιά), άλμα που είναι δυνατόν να γίνει, τότε το άτομο εκπέμπει ηλεκτρομαγνητική ακτινοβολία συχνότητας ν , που δίνεται από τη σχέση:

$$E_\alpha - E_\tau = h \cdot \nu \quad (1.1.3)$$

όπου E_α και E_τ η ενέργεια του ηλεκτρονίου στην αρχική και τελική τροχιά του, αντίστοιχα. Στην περίπτωση αυτή έχουμε **αποδιέγερση** του ατόμου, Σχ. 1.5.



Σχήμα 1.5. Διέγερση, αποδιέγερση και ιονισμός των ατόμων.

Αντίθετο άλμα του ηλεκτρονίου από εσωτερική, επιτρεπτή, τροχιά α σε εξωτερική, επιτρεπτή, τροχιά τ , είναι, επίσης, δυνατόν να γίνει μόνο με απορρόφηση ηλεκτρομαγνητικής ακτινοβολίας συχνότητας ν , που διέπεται από την

ίδια σχέση, την 1.1.3. Στην περίπτωση αυτή έχουμε **διέγερση** του ατόμου, Σχ. 1.5. Όταν το ηλεκτρόνιο απομακρύνθει (αποσυνδεθεί) τελείως από το άτομο, τότε έχουμε **ιονισμό** του ατόμου, Σχ. 1.5.

Από τις σχέσεις (1.1.1) και (1.1.2), εύκολα συνάγεται ότι, το ηλεκτρόνιο κινείται γύρω από τον πυρήνα σε κλινική τροχιά ακτίνας r :

$$r = \frac{n^2 \hbar^2}{Z \cdot e^2 \cdot m} \quad (1.1.4)$$

με ταχύτητα v :

$$v = \frac{Ze^2}{n\hbar} . \quad (1.1.5)$$

Στην **τροχιά Bohr**, $n = 1$, (βασική τροχιά) το ηλεκτρόνιο κινείται με ταχύτητα $v_1 = 2.2 \times 10^8 \text{ cm/sec}$, η δε ακτίνα της βασικής αυτής τροχιάς, που καλείται και **ακτίνα Bohr**, είναι ίση προς $r_1 = 0.5 \times 10^{-8} \text{ cm}$ ή 0.5 \AA .

Η ολική ενέργεια του ηλεκτρονίου, δυναμική συν κινητική, κινουμένου σε επιτρεπτή τροχιά με κβαντικό αριθμό n , δίνεται από τη σχέση:

$$E_{\text{tot}} = -\frac{Z^2 e^4 m}{2n^2 \hbar^2} . \quad (1.1.6)$$

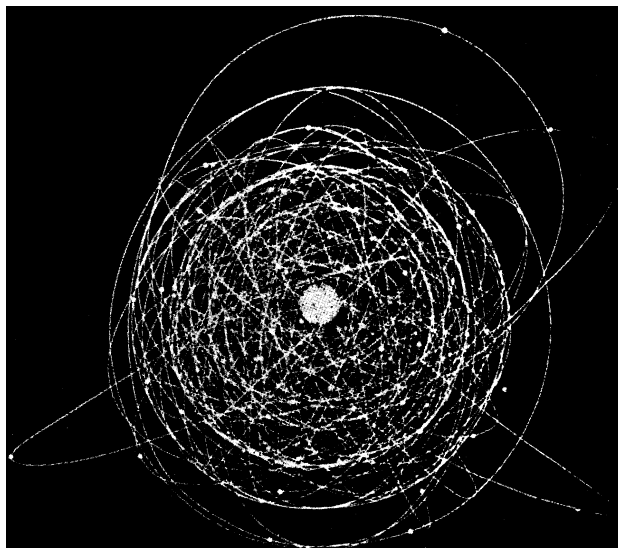
Η τιμή αυτή της ολικής ενέργειας του ηλεκτρονίου στη σχέση (1.1.3), θα μας δώσει τη συχνότητα της ηλεκτρομαγνητικής ακτινοβολίας που θα εκπέμψει το άτομο, όταν γίνει ένα άλμα του ηλεκτρονίου από μια επιτρεπτή εξωτερική τροχιά α σε μια επιτρεπτή εσωτερική τροχιά α :

$$v_{\tau, \alpha} = \frac{E_\alpha - E_\tau}{\hbar} = \frac{Z^2 e^4 m}{4\pi\hbar^3} \left(\frac{1}{n_\tau^2} - \frac{1}{n_\alpha^2} \right) . \quad (1.1.7)$$

Στην φασματοσκοπία χρησιμοποιείται περισσότερο το αντίστροφο του μήκους κύματος, δηλαδή το $1/\lambda$, που λέγεται και **αριθμός κύματος** (ή **κυματάριθμος**) και υπολογίζεται από τη σχέση (1.1.7), αν ληφθεί υπ' όψιν και η γνωστή σχέση $c = v \cdot \lambda$, όπου c η ταχύτητα του φωτός.

1.2 Συστατικά του ατόμου

Σύμφωνα με το ενιαίο πρότυπο Rutherford-Bohr, το άτομο θα εμφάνιζε την εικόνα του Σχήματος 1.6. Στο κέντρο του ατόμου είναι ο πυρήνας και γύρω από τον πυρήνα κινούνται τα ηλεκτρόνια σε επιτρεπτές κυκλικές τροχιές, όπως καθορίζονται από την πρώτη συνθήκη του Bohr, σχέση (1.1.2).



Σχήμα 1.6. Το άτομο με τον πυρήνα και τα ηλεκτρόνιά του. Το άτομο είναι του ουρανίου ($Z=92$).

a) Το ηλεκτρόνιο

Το ηλεκτρόνιο είναι το μικρότερο σε μάζα από τα συστατικά του ατόμου, το δε αρνητικό ηλεκτρικό φορτίο του θεωρείται σαν στοιχειώδης μονάδα του ηλεκτρισμού. Το φορτίο του ηλεκτρονίου μετρήθηκε από τον Robert Millikan το 1911 με το ομώνυμο πείραμά του, «το πείραμα της σταγόνας λαδιού» και ισούται με:

$$e = -4.8 \times 10^{-10} \text{ esu}^* = -1.6 \times 10^{-19} \text{ Cb.}$$

Η μάζα του ηλεκτρονίου μετρήθηκε από τον J.J. Thomson το 1897 έμμεσα, από τον λόγο του φορτίου του ηλεκτρονίου προς την μάζα του, e/m . Ο λόγος αυτός ισούται με:

$$e/m = 1.76 \times 10^{11} \text{ Cb/kg.}$$

Συνεπώς η μάζα του ηλεκτρονίου θα ισούται με:

$$m_e = 9.11 \times 10^{-28} \text{ g} (9.109389 \times 10^{-31} \text{ kg}).$$

Σύμφωνα με την θεωρία της σχετικότητας, του Einstein, ότι: μάζα \equiv ενέργεια, η μάζα του ηλεκτρονίου θα ισοδυναμεί με ενέργεια ίση προς 0.511 MeV^{**} .

* esu = ηλεκτροστατική μονάδα φορτίου (electrostatic unit).

** $1 \text{ MeV} = 10^6 \text{ eV}, 1 \text{ eV} = 1.6 \times 10^{-19} \text{ Cb} \cdot 1 \text{ Volt} = 1.6 \cdot 10^{-19} \text{ Joules} = 1.6 \times 10^{-12} \text{ erg.}$

Δεχόμενοι σαν αληθινή την πρόταση ότι, το ηλεκτρόνιο έχει ομοιόμορφη κατανομή φορτίου σε όλη την έκταση του σφαιρικού του όγκου, μπορούμε να υπολογίσουμε την «**κλασσική ακτίνα του ηλεκτρονίου**», η οποία ισούται με:

$$r_e = \frac{e^2}{m_e c^2} = 2.82 \times 10^{-13} \text{ cm} = 2.82 \text{ fm}^*.$$

Η μαγνητική ροπή του ηλεκτρονίου, η οποία δίνει και την τάξη μεγέθους της μαγνητικής ροπής του ατόμου, είναι ίση με:

$$\begin{aligned} \mu_B &= \frac{1}{2} \frac{e}{m_e} \cdot h = 9.27 \times 10^{-24} \text{ Amp} \cdot \text{m}^2 = \\ &= 9.27 \times 10^{-21} \text{ HMM μαγνητικής ροπής} = \\ &= 5.79 \times 10^{-11} \text{ MeV T}^{-1}. \end{aligned} \quad (1.2.1)$$

Η μ_B καλείται **μαγνητόνη του Bohr**.

Το σπιν του ηλεκτρονίου, ή ίδια στροφορμή του, λόγω περιφοράς του περί αξόνα διερχόμενο από το κέντρο μάζας του ισούται με:

$$S = \frac{1}{2} \hbar \quad (1.2.2)$$

ενώ η στροφορμή του λόγω περιφοράς γύρω από τον πυρήνα είναι ίση με:

$$L = n\hbar, \quad (1.2.3)$$

όπου $n =$ ακέραιος αριθμός ($1, 2, \dots, n$) ή κύριος κβαντικός αριθμός.

Αυτά είναι συνοπτικά τα κύρια χαρακτηριστικά του ηλεκτρονίου ή άλλως οι φυσικές σταθερές του.

Β) Ο πυρήνας

Ο πυρήνας με διαστάσεις της τάξης του 10^{-12} cm (περίπου μιας δεκάδας fm), όπως έδειξαν τα πειράματα των Geiger και Marsden και η εξήγησή τους από τον Rutherford, περιέχει δύο ειδών σωμάτια: τα **πρωτόνια** και **νετρόνια**: Τα σωμάτια αυτά είναι ίσα περίπου σε μάζα, ενώ τα πρώτα είναι θετικώς φορτισμένα σωματίδια, τα δε δευτερερα εμφανίζονται ουδέτερα, γεγονός στο οποίο οφείλουν και την ονομασία τους.

Το **πρωτόνιο** έχει φορτίο θετικό ισοδύναμο με το αρνητικό φορτίο του ηλεκτρονίου, δηλαδή:

$$e = +4.8 \times 10^{-10} \text{ esu} = +1.6 \times 10^{-19} \text{ Cb.}$$

* $1 \text{ fm (femto meter)} = 10^{-15} \text{ m} = 10^{-13} \text{ cm}$, μονάδα που χρησιμοποιείται για πυρηνικές διαστάσεις, όπως η μονάδα Ångström, Å για ατομικές διαστάσεις.

Η μάζα του πρωτονίου είναι:

$$m_p = 1.67 \times 10^{-24} \text{ g} \quad (1.672623 \times 10^{-27} \text{ kg})$$

δηλαδή 1836 φορές μεγαλύτερη από την μάζα του ηλεκτρονίου και το ισοδύναμό της σε ενέργεια κατά Einstein:

$$m_p = 938.27 \text{ MeV.}$$

Η μαγνητική ροπή του πρωτονίου δίνει και την τάξη μεγέθους της μαγνητικής ροπής του πυρήνα, η οποία είναι ίση με

$$\begin{aligned} \mu_N &= \frac{1}{2} \cdot \frac{e}{m_p} \cdot \hbar = 5.05 \times 10^{-27} \text{ Amp} \cdot \text{m}^2 = \\ &= 5.05 \times 10^{-24} \text{ HMM μαγνητικής ροπής} = \\ &= 3.15 \times 10^{-14} \text{ MeV T}^{-1} \end{aligned} \quad (1.2.4)$$

συνεπώς:

$$m_p = 2.79 \mu_N \quad (1.2.5)$$

δηλαδή περίπου 1836 φορές μικρότερη από την μαγνητική ροπή του ηλεκτρονίου. Η μ_N καλείται **πυρηνική μαγνητόνη**. Η τάξη μεγέθους της μαγνητικής ροπής του πυρήνα, κατά πολύ μικρότερη εκείνης του ηλεκτρονίου, είναι και ένας από τους βασικούς λόγους που αποκλείουν την ύπαρξη ηλεκτρονίων (και γενικά ελαφρών σωματιδίων) μέσα στον πυρήνα.

Το σπιν του πρωτονίου είναι:

$$S = 1/2 \hbar. \quad (1.2.6)$$

Το **νετρόνιο**, είναι σχεδόν ίσο σε μάζα με το πρωτόνιο, κατά τι μεγαλύτερο. Η μάζα του νετρονίου ισούται με:

$$m_n = 1.67 \times 10^{-24} \text{ g} \quad (1.674663 \times 10^{-27} \text{ kg})$$

και το ισοδύναμό της σε ενέργεια κατά Einstein:

$$m_n = 939.54 \text{ MeV}$$

δηλαδή, κατά 1.293 MeV μεγαλύτερη από την μάζα του πρωτονίου ($m_n - m_p = 1.293 \text{ MeV}$). Το φορτίο του νετρονίου είναι μηδέν. Παρά ταύτα το νετρόνιο έχει μαγνητική ροπή και μάλιστα αρνητική, που εξηγείται τόσο ως προς το μέγεθος όσο και ως προς το σημείο (αρνητικό, στην προκειμένη περίπτωση)

από την ύπαρξη εσωτερικής κατανομής φορτίων και σπιν. Είναι δε ίση με:

$$\mu_n = -1.91 \mu_N \quad (1.2.7)$$

όπου μ_N , η μονάδα πυρηνικής μαγνητικής ροπής (πυρηνική μαγνητόνη). Το σπιν του νετρονίου είναι:

$$S = 1/2 \hbar. \quad (1.2.8)$$

Το σπιν και η μαγνητική ροπή του νετρονίου είναι αντιπαράλληλα διανύσματα.

1.3 Πυρηνική δομή

Ο πυρήνας περιέχει Z πρωτόνια και N νετρόνια. Ισάριθμα προς τα πρωτόνια, δηλαδή Z ηλεκτρόνια του ατόμου περιφέρονται γύρω από τον πυρήνα. Το Z καλείται ατομικός αριθμός και το N αριθμός νετρονίων ή νετρονικός αριθμός.

Το άθροισμα $Z + N$ καλείται **μαζικός αριθμός** ή αριθμός μάζας και συμβολίζεται με το A . Είναι δηλαδή $A = Z + N$.

a) Διάσταση του πυρήνα

Η διάσταση του πυρήνα μπορεί να υπολογιστεί με διάφορες μεθόδους, πυρηνικές ή ηλεκτρομαγνητικές. Η ακτίνα του πυρήνα δίνεται από μια σχέση της μορφής:

$$R = R_0 \cdot A^{1/3} \text{ cm} \quad (1.3.1)$$

όπου A είναι ο μαζικός αριθμός και R_0 μια σταθερά της οποίας η μέση τιμή είναι περίπου 1.3×10^{-13} cm, ή 1.3 fm. Η τιμή αυτή κυμαίνεται μεταξύ 1.1 και 1.5 fm ανάλογα με την μέθοδο προσδιορισμού της πυρηνικής ακτίνας (πυρηνική μέθοδος ή ηλεκτρομαγνητική μέθοδος). Η μάζα του πυρήνα υπολογίζεται με βάση τη μονάδα ατομικών μαζών (1 amu = atomic mass unit) και είναι ανάλογη του αριθμού των πρωτονίων και των νετρονίων που περιέχει, δηλαδή του μαζικού αριθμού A . Συνεπώς:

$$M = Z \cdot m_p + N \cdot m_n \cong (Z + N) m_p = A \cdot m_p, \quad (1.3.2)$$

καθ' όσον $m_p \cong 1.67 \times 10^{-24}$ g.

Η πυρηνική πυκνότητα, σύμφωνα με την σχέση:

$$\rho = \frac{M}{V} \quad (1.3.3)$$

Θα ισούται με:

$$\begin{aligned}\rho &= \frac{Zm_p + Nm_n}{4/3 \pi R^3} \approx \frac{A \cdot m_p}{4/3 \pi (R_0 A^{1/3})^3} = \frac{m_p}{4/3 \pi \cdot R_0^3} \approx 10^{14} \text{ g/cm}^3 = \\ &= 10^8 \text{ tons/cm}^3\end{aligned}\quad (1.3.4)$$

είναι σταθερή και η μεγαλύτερη που θα μπορούσε να υπάρξει.

β) Ισότοπα στοιχεία

Σύμφωνα με τα ανωτέρω, υπάρχουν πυρήνες ενός και του αυτού στοιχείου, του ίδιου Z δηλαδή, που έχουν διαφορετικό αριθμό νετρονίων N , άρα και διαφορετικό μαζικό αριθμό A . Τα στοιχεία στα οποία ανήκουν οι πυρήνες αυτοί, καλούνται **ισότοπα στοιχεία**. Ο μαζικός αριθμός A ενός νουκλιδίου, όπως είναι αυτονόητο, είναι ακέραιος αριθμός και δεν πρέπει να συγχέεται με την ατομική μάζα $M(Z, A)$ ισοτόπου στοιχείου που δεν είναι ακέραιος, αλλά δεκαδικός αριθμός και διαφέρει ελάχιστα από τον μαζικό αριθμό A . Π.χ. ο πυρήνας του $^{16}_8O$ έχει $A = 16$ και $M(Z, A) = 15.99491502$ amu, ενώ ο πυρήνας του $^{226}_{88}Ra$ έχει $A = 226$ και $M(Z, A) = 226.025360$ amu. Οι ατομικές μάζες $M(Z, A)$ των ισοτόπων στοιχείων εκφράζονται σε μονάδες ατομικής μάζας (1 amu = $1/12 M_{^{12}C}$), δηλαδή το $1/12$ της μάζας του ισοτόπου του $^{12}_6C$ σε g μάζας ή σε MeV (1 amu = 931.4932 MeV).

Εδώ θα πρέπει επίσης να σημειωθεί ότι δεν πρέπει να συγχέεται η ατομική μάζα $M(Z, A)$ ενός ισοτόπου με το ατομικό βάρος του στοιχείου στο οποίο ανήκει το ισότοπο. Π.χ. του ισοτόπου ουρανίου-238 ($^{238}_{92}U$), η ατομική μάζα είναι $M(Z, A) = 238.050770$ amu, ενώ το ατομικό βάρος του στοιχείου ουρανίου, $^{238}_{92}U$, που είναι μίγμα όλων των ισοτόπων του ουρανίου, ήτοι του $^{234}_{92}U$ (0.0054%), του $^{235}_{92}U$ (0.720%) και του $^{238}_{92}U$ (92.2746%), είναι $AB = 238.03$. Στον πίνακα 1.1 παρατίθεται ο μαζικός αριθμός, η ατομική μάζα ορισμένων ισοτόπων, καθώς και το ατομικό βάρος των στοιχείων που ανήκουν.

Ένας πυρήνας στοιχείου X με ατομικό αριθμό Z (αριθμός πρωτονίων) και μαζικό αριθμό A ($A = Z + N$) συμβολίζεται ως εξής:



π.χ. $^{14}_6C$, $^{16}_8O$, $^{40}_{19}K$, $^{131}_{53}I$, $^{226}_{88}Ra$ είναι συμβολισμοί πυρήνων διαφόρων στοιχείων. Τα στοιχεία με τους πυρήνες $^{12}_6C$ και $^{14}_6C$ καλούνται ισότοπα στοιχεία, όπως προαναφέρθηκε. Στην πραγματικότητα είναι ισότοποι πυρήνες ενός και του αυτού (χημικού) στοιχείου και όχι δύο διαφορετικά στοιχεία. Ισότοπα είναι π.χ. τα $^{16}_8O$ και $^{18}_8O$, καθώς και τα $^{238}_{92}U$ και $^{235}_{92}U$. Άλλη ονομασία των ισοτόπων είναι **νουκλίδια**. Στους χάρτες των νουκλιδίων, όπως αποκαλούνται τα ισότοπα, που

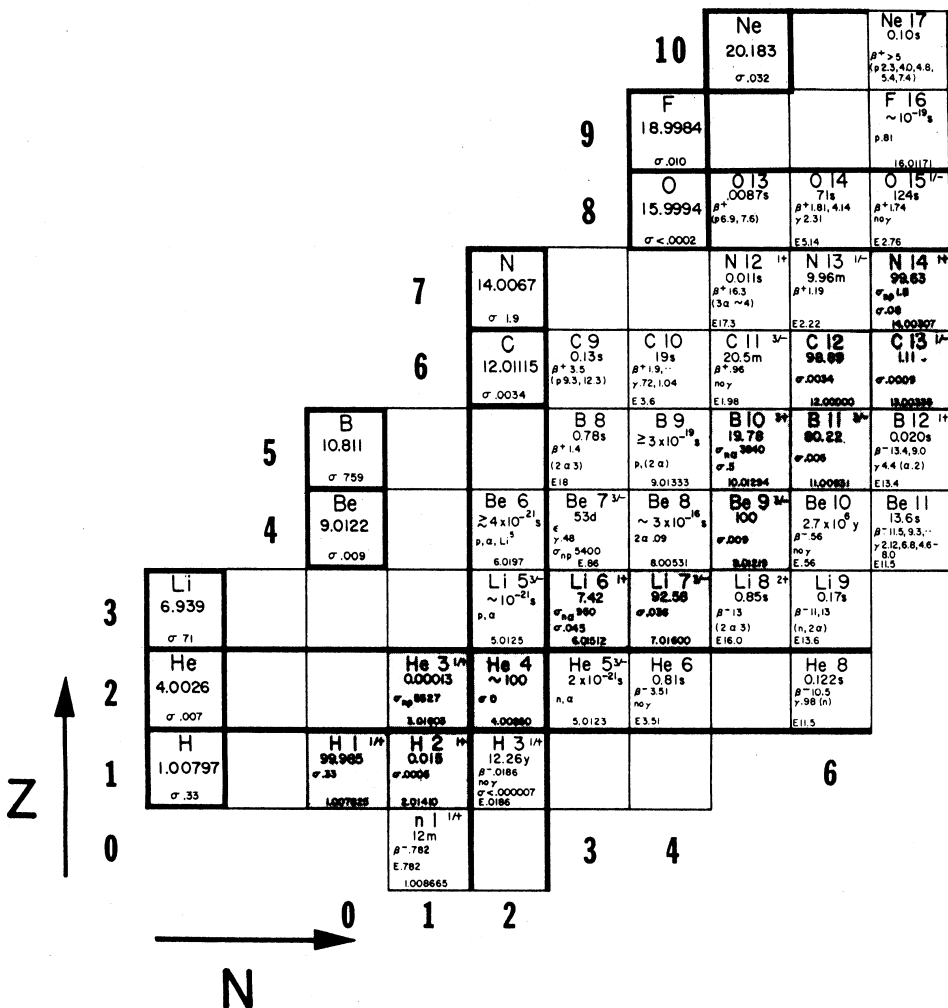
Πίνακας 1.1. Μαζικός αριθμός, ατομική μάζα και ατομικό βάρος ισοτόπων στοιχείων.

| Ισότοπο | A | M(Z, A) (amu) | AB |
|------------------------|-----|---------------|-----------------------------------|
| ^1_1H | 1 | 1.00782519 | ^1_1H : 1.00797 |
| ^2_1H | 2 | 2.01410222 | |
| ^3_1H | 3 | 3.01604971 | |
| $^{12}_6\text{C}$ | 12 | 12.000000000 | $^{12}_6\text{C}$: 12.01115 |
| $^{14}_6\text{C}$ | 14 | 14.003.24197 | |
| $^{16}_8\text{O}$ | 16 | 15.99491502 | $^{16}_8\text{O}$: 15.9994 |
| $^{18}_8\text{O}$ | 18 | 17.99916002 | |
| $^{39}_{19}\text{K}$ | 39 | 38.9637101 | $^{39}_{19}\text{K}$: 39.102 |
| $^{40}_{19}\text{K}$ | 40 | 39.9639998 | |
| $^{226}_{88}\text{Ra}$ | 226 | 226.025360 | $^{226}_{88}\text{Ra}$: 226.0254 |
| $^{228}_{88}\text{Ra}$ | 228 | 228.031139 | |
| $^{232}_{90}\text{Th}$ | 232 | 232.038124 | $^{232}_{90}\text{Th}$: 232.038 |
| $^{228}_{90}\text{Th}$ | 228 | 228.028750 | |
| $^{238}_{92}\text{U}$ | 238 | 238.050770 | $^{238}_{92}\text{U}$: 238.03 |
| $^{235}_{92}\text{U}$ | 235 | 235.043915 | |

φτάνουν περίπου τις δύο χιλιάδες, εκ των οποίων περίπου τα 1700 είναι φασματογράφους μάζας. Υπάρχουν διαφόρων τύπων φασματόμετρα, που φέρουν τα ονόματα των ερευνητών που τα ανακάλυψαν - κατασκεύασαν, όπως π.χ. φασματογράφος Aston, φασματογράφος Thomson, φασματόμετρο Nier, φασματόμετρο Dempster, κ.λπ., η δε ακρίβεια με την οποία δίνουν την ισοτοπική μάζα φθάνει στο πέμπτο (ίσως και στο έκτο, σήμερα) δεκαδικό ψηφίο.

γ) Έλλειμμα μάζας και ενέργεια σύνδεσης του πυρήνα

Όπως ήδη αναφέρθηκε, ο πυρήνας αποτελείται μόνο από πρωτόνια και νετρόνια. Συνεπώς θα έπρεπε κανονικά η μάζα του να ισούται με το άθροισμα των



Σχήμα 1.7. Το πρώτο τμήμα του χάρτη των νουκλιδίνων.

μαζών των πρωτονίων και των νετρονίων που συνιστούν τον πυρήνα. Τα πειραματικά όμως αποτελέσματα δείχνουν ότι η μάζα του πυρήνα είναι μικρότερη από το άθροισμα αυτό. Παρατηρείται δηλαδή μια διαφορά Μ-Α. Η διαφορά αυτή καλείται **έλλειψη μάζας** και μετατρέπεται (ή εκλύεται) σε ενέργεια κατά τον σχηματισμό ή τη διάσπαση του ατόμου, αντίστοιχα, σύμφωνα πάντοτε με την αρχή της ισοδυναμίας μάζας - ενέργειας κατά Einstein.

Η ενέργεια σχηματισμού του πυρήνα ή **ενέργεια σύνδεσης**, BE (Binding Energy), δίνεται από την σχέση:

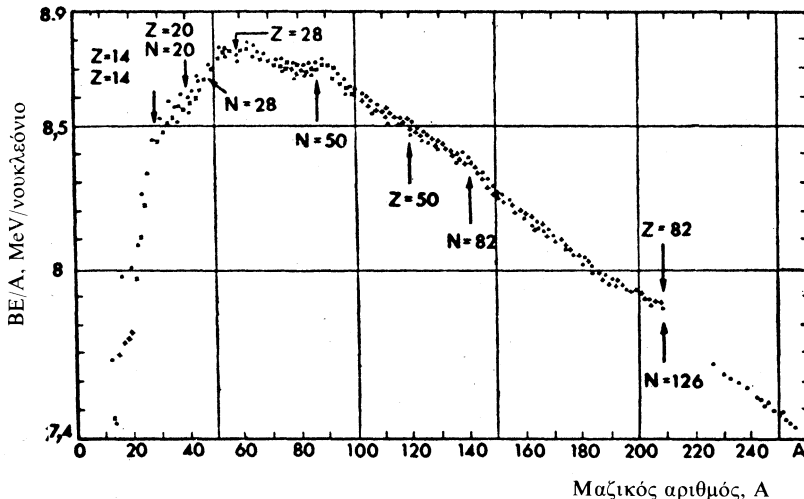
$$BE = \Delta M \cdot c^2 \quad (1.3.5)$$

όπου ΔM η ελάττωση της μάζας, όταν ένας αριθμός πρωτονίων, νετρονίων και ηλεκτρονίων συνδυαστεί κατάλληλα και συνενωθεί για να σχηματιστεί ένα άτομο. Το ίδιο ποσό ενέργειας θα πρέπει να προσφερθεί στο άτομο για να διασπαστεί στα συστατικά του.

Αναλυτικότερα θα είναι:

$$BE = \{Z \cdot m_p + N \cdot m_n + Z \cdot m_e - M(Z, A)\}c^2 \quad (1.3.6)$$

$$\text{ή} \quad BE = \{Z \cdot m_p + (A - Z) \cdot m_n + Z \cdot m_e - M(Z, A)\}c^2. \quad (1.3.7)$$



Σχήμα 1.8. Μέση ενέργεια σύνδεσης ανά σωμάτιο (νουκλεόνιο) του πυρήνα, BE/A , σαν συνάρτηση του μαζικού αριθμού A .

Εκείνο όμως που ενδιαφέρει και χρησιμοποιείται περισσότερο είναι η μέση ενέργεια σύνδεσης ανά νουκλεόνιο (σωμάτιο) του πυρήνα, δηλαδή ο λόγος BE/A . Όπως φαίνεται στο Σχήμα 1.8, η μέση ενέργεια σύνδεσης ανά νουκλεόνιο είναι γύρω στα 8 MeV. Στον Πίνακα 1.2α περιλαμβάνονται οι τιμές της ενέργειας σύνδεσης, BE και της ενέργειας σύνδεσης ανά νουκλεόνιο, $\frac{BE}{A}$ για ορισμένους ελαφρείς πυρήνες, ενώ στον Πίνακα 1.2β οι αντίστοιχες τιμές για ενδιάμεσους και βαρείς πυρήνες. Η ελάχιστη ενέργεια που απαιτείται για να διαχωριστεί ένα πρωτόνιο από τον πυρήνα ${}_2^4\text{He}$ είναι 19.8 MeV, ενώ για ένα νετρόνιο από τον πυρήνα ${}_2^4\text{He}$ είναι 20.55 MeV. Η ενέργεια σύνδεσης, BE ενός

πρωτονίου είναι μικρότερη από την ενέργεια σύνδεσης ενός νετρονίου κατά τον υπολογισμό της ηλεκτροστατικής άπωσης στον πυρήνα.

Πίνακας 1.2α. Ενέργεια σύνδεσης, BE και ενέργεια σύνδεσης ανά νουκλεόνιο,

$$\frac{BE}{A} \text{ ελαφρών πυργίνων.}$$

| Πυρήνας | ${}_1^2\text{H}$ | ${}_1^3\text{H}$ | ${}_2^3\text{He}$ | ${}_2^4\text{He}$ | ${}_2^6\text{He}$ | ${}_3^6\text{Li}$ | ${}_3^7\text{Li}$ | ${}_3^8\text{Li}$ | ${}_4^7\text{Be}$ |
|----------------------|------------------|------------------|-------------------|-------------------|-------------------|-------------------|-------------------|-------------------|-------------------|
| BE, MeV | 2.22 | 8.48 | 7.72 | 28.30 | 29.27 | 31.56 | 39.25 | 41.28 | 37.60 |
| $\frac{BE}{A}$, MeV | 1.11 | 2.82 | 2.57 | 7.07 | 4.88 | 5.26 | 5.61 | 5.16 | 5.37 |

Πίνακας 1.2β. Ενέργεια σύνδεσης, BE και ενέργεια σύνδεσης ανά νουκλεόνιο,

$$\frac{BE}{A} \text{ ενδιαμέσων και βαρέων πυργίνων.}$$

| Πυρήνας | ${}_27^{60}\text{Co}$ | ${}_38^{90}\text{Sr}$ | ${}_55^{137}\text{Cs}$ | ${}_92^{235}\text{U}$ | ${}_98^{252}\text{Cf}$ |
|----------------------|-----------------------|-----------------------|------------------------|-----------------------|------------------------|
| BE, MeV | 524.81 | 782.62 | 1149.59 | 1783.88 | 1881.39 |
| $\frac{BE}{A}$, MeV | 8.75 | 8.70 | 8.39 | 7.59 | 7.47 |

δ) Πυρηνικές δυνάμεις

Οι δυνάμεις που εξασκούνται μέσα στον πυρήνα μεταξύ των σωματιδίων που τον συνιστούν, δηλαδή μεταξύ των πρωτονίων και των νετρονίων, είναι οι πυρηνικές δυνάμεις και είναι υπεύθυνες για την συγκρότησή του. Τα κυριότερα χαρακτηριστικά (ιδιότητες) των πυρηνικών δυνάμεων είναι τα εξής:

- Είναι ισχυρές.** Είναι υπεύθυνες για τις ισχυρές αλληλεπιδράσεις, για την εκπομπή των ακτίνων άλφα από τον πυρήνα. Είναι οι πλέον ισχυρές από όλα τα είδη δυνάμεων που υπάρχουν στη φύση. Είναι ισχυρότερες από τις ηλεκτροστατικές δυνάμεις Coulomb, γι' αυτό τα πρωτόνια βρίσκονται πολύ κοντά το ένα με το άλλο μέσα στον πυρήνα. Καλούνται ισχυρές λόγω του πολύ μικρού χρόνου δράσης τους, που είναι της τάξης του 10^{-23} sec.
- Είναι κορεσμένες.** Οι κλασικές δυνάμεις, δυνάμεις Coulomb $F_C = k \cdot q_1 q_2 / r^2$ και δυνάμεις βαρύτητας $F_G = G \cdot m_1 m_2 / r^2$ είναι ακόρεστες δυνάμεις. Κάθε σωμάτιο του πυρήνα, πρωτόνιο ή νετρόνιο, δρα με περιορισμένο αριθμό γειτονικών του σωματίων, καθ' όσον πρόσθεση σωματίων, ήτοι πρωτονίων ή νε-

τρονίων στον πυρήνα, αυξάνει την ενέργεια σύνδεσης BE του πυρήνα σαν σύνολο, αλλά η μέση ενέργεια σύνδεσης ανά σωμάτιο (νουκλεόνιο) του πυρήνα BE/A, παραμένει σταθερή, περίπου 8 MeV, όπως προαναφέρθηκε, για τους περισσότερους πυρήνες από $A = 50$ μέχρι $A = 130$. Η σταθερή πυρηνική πυκνότητα και η εξάρτηση της πυρηνικής ακτίνας (διάσταση του πυρήνα) από την κυβική ρίζα του μαζικού αριθμού A ($R = R_0 A^{1/3}$) αποτελούν μια ακόμη απόδειξη ότι οι πυρηνικές δυνάμεις είναι κορέσιμες.

- iii) **Είναι μικρής εμβέλειας.** Για τις πυρηνικές δυνάμεις πρέπει να υπάρχει απωτική συνιστώσα, καθ' όσον διαφορετικά όλοι οι πυρήνες θα έπρεπε να έχουν το ίδιο περίπου μέγεθος, σε αντίθεση προς τα πειραματικά δεδομένα, τα οποία δίνουν την πυρηνική ακτίνα ανάλογη των πυρηνικών δυνάμεων. Η απωτική συνιστώσα αρχίζει να δρα από το κέντρο του σωματιδίου, πρωτονίου ή νετρονίου, μέχρι περίπου 0.5 fm ($0.5 \times 10^{-13} \text{ cm}$) και θα πρέπει να είναι κατά πολύ ισχυρότερη, στην απόσταση αυτή 0.5 fm , από την ελκτική συνιστώσα των πυρηνικών δυνάμεων. Η εμβέλεια των πυρηνικών δυνάμεων φθάνει μέχρι λίγα fm, περίπου 2 fm . Η πυρηνική ακτίνα είναι της τάξης των 10 fm .
- iv) **Είναι ανεξάρτητες του φορτίου.** Τα σωμάτια του πυρήνα, πρωτόνια και νετρόνια κινούνται μέσα στον πυρηνικό όγκο, χωρίς να επηρεάζει το ένα το άλλο, ανεξάρτητα από το αν φέρουν φορτίο (πρωτόνια) ή όχι (νετρόνια). Η ενέργεια που απαιτείται για να εξαχθεί ένα πρωτόνιο από τον πυρήνα είναι περίπου η ίδια που απαιτείται για να εξαχθεί ένα νετρόνιο ($\sim 8 \text{ MeV}$). Γι' αυτό έχουν και κοινή ονομασία, **νουκλεόνια**, γεγονός που τα κάνει να μην ξεχωρίζουν, όσον αφορά την ιδιότητα αυτή.

Για να γίνει έντονα κατανοητό το πόσο ισχυρές είναι οι πυρηνικές δυνάμεις, θα πρέπει να γίνει σύγκριση με τα άλλα είδη των δυνάμεων που υπάρχουν στη φύση. Συνολικά είναι ως τώρα γνωστά τέσσερα ήδη δυνάμεων:

- 1) **Πυρηνικές δυνάμεις**, όπως εκτέθηκαν παραπάνω.
- 2) **Ηλεκτρομαγνητικές δυνάμεις**. Είναι 137 φορές ασθενέστερες από τις πυρηνικές δυνάμεις. Δρουν μεταξύ φορτισμένων σωματίων ή σωματίων που έχουν ηλεκτρική ή μαγνητική ροπή. Ακολουθούν τον νόμο του αντιστρόφου τετραγώνου της απόστασης r ($F_C = k \cdot q_1 q_2 / r^2$). Είναι δυνάμεις άπειρης εμβέλειας ($1/r^2$). Είναι υπεύθυνες για την ενέργεια σύνδεσης των ηλεκτρονίων στα άτομα και τον σχηματισμό των μορίων. Ο χρόνος δράσης τους είναι της τάξης του 10^{-21} sec .
- 3) **Δυνάμεις ασθενούς αλληλεπίδρασης**. Είναι 10^{14} φορές ασθενέστερες από τις πυρηνικές δυνάμεις. Είναι υπεύθυνες για την εκπομπή των ακτίνων βήτα από τον πυρήνα. Η αλληλεπίδραση είναι σημειακή. Ο χρόνος δράσης τους είναι της τάξης του 10^{-8} sec .

- 4) **Δυνάμεις βαρύτητας.** Είναι οι πλέον ασθενείς, 10^{39} φορές ασθενέστερες από τις πυρηνικές δυνάμεις. Είναι δυνάμεις ελκτικές, άπειρης εμβέλειας ($1/r^2$) και ακολουθούν και αυτές, όπως και οι ηλεκτρομαγνητικές δυνάμεις, τον νόμο του αντιστρόφου τετραγώνου της απόστασης r ($F_G = G \cdot m_1 m_2 / r^2$).

ε) Πυρηνικά πρότυπα

Ενιαίο πυρηνικό πρότυπο διευθέτησης των νουκλεονίων, δηλαδή των πρωτονίων και των νετρονίων μέσα στον πυρήνα, το οποίο να περιγράφει και να εξηγεί (και να προβλέπει) όλα τα πυρηνικά φαινόμενα και τις πυρηνικές αντιδράσεις, δεν υπάρχει, τουλάχιστον, μέχρι σήμερα. Έχουν προταθεί πολλά πρότυπα, τα οποία περιγράφουν - ερμηνεύουν ένα πλήθος φαινομένων, αλλά αδυνατούν όμως να εξηγήσουν άλλα φαινόμενα. Κυριότερα από τα πυρηνικά πρότυπα αναφέρουμε τα εξής:

- 1) **Το πρότυπο της υγρής σταγόνας** που εξηγεί καλά την ενέργεια σύνδεσης του πυρήνα και το φαινόμενο της πυρηνικής σχάσης.
- 2) **Το πρότυπο συσσωμάτωσης σωματίων άλφα,** που ερμηνεύει την εκπομπή των ακτίνων άλφα από τον πυρήνα.
- 3) **Το πρότυπο κατά φλοιούς,** όπως ακριβώς συμβαίνει με το πρότυπο των ατομικών ηλεκτρονίων κατά φλοιούς. Το πρότυπο αυτό ερμηνεύει τις κβαντισμένες ενεργειακές καταστάσεις του πυρήνα, την εκπομπή δηλαδή των ακτίνων γάμμα.